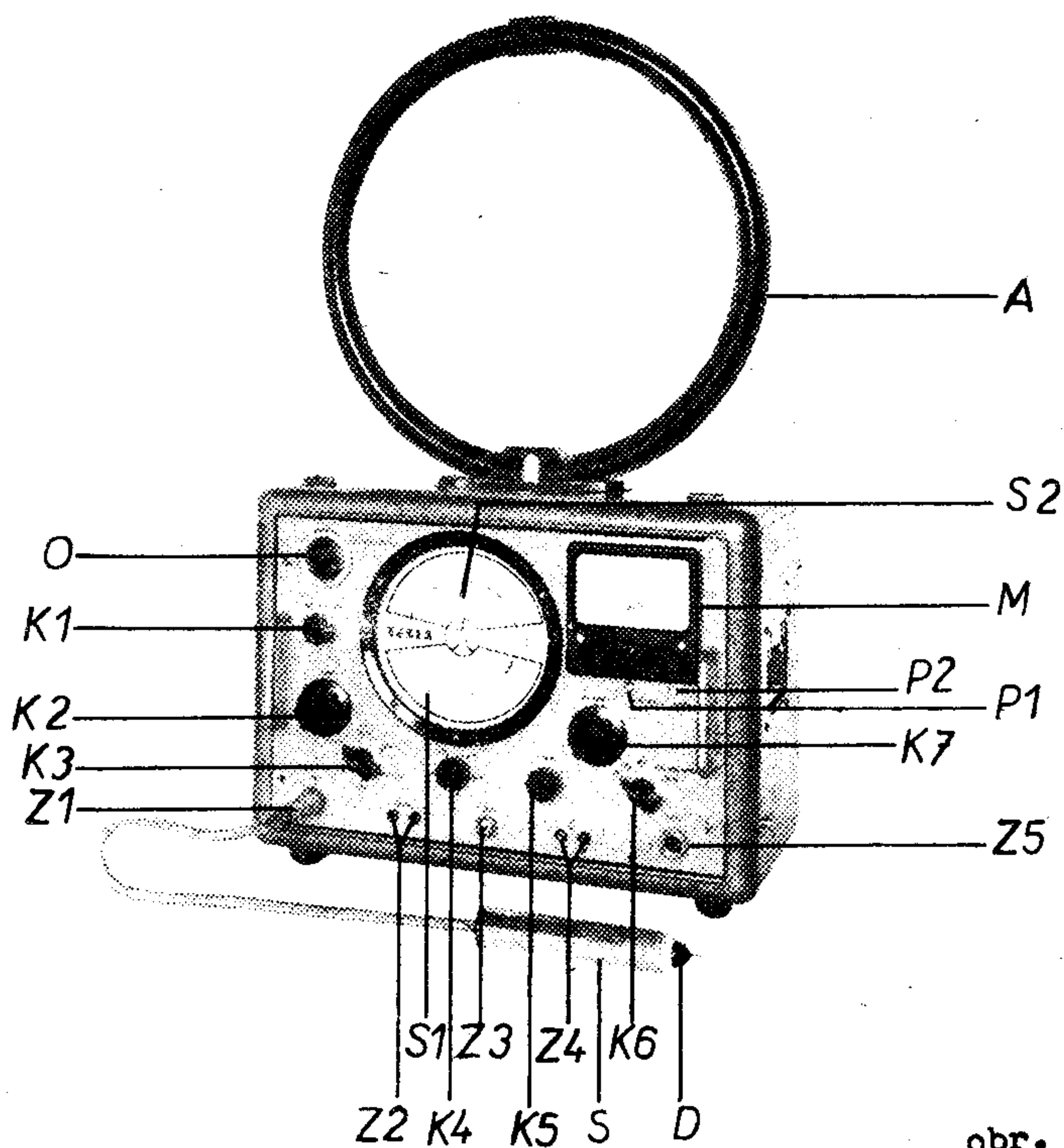


**MĚŘIČ POLE A RUŠENÍ  
TESLA BM 405**

MĚŘICÍ POLE A RUŠENÍ TESLA BM 405

Návod k obsluze.



obr. 1

- A - anténa
- S - sonda
- S1 - stupnice nastavení kmitočtu
- S2 - stupnice ladění antény
- D - přepínač děliče 1 : 1, 1 : 10, 1 : 100
- M - výstupní měřidlo
- K1 - nastavení proudu šumové diody
- K2 - ladění přijímače
- K3 - přepínač kmitočtových rozsahů
- K4 - přepínač děliče
- K5 - regulace zesílení (cejchování)
- K6 - přepínač funkce voltmetru
- K7 - ladění antény
- O - otvor pro sondu
- P1 - potenciometr nastavení nuly voltmetru
- P2 - potenciometr nastavení nuly registračního přístroje
- Z1 - konektor pro připojení sondy
- Z2 - zdiřky pro připojení registračního přístroje
- Z3 - konektor pro výstup mf kmitočtu
- Z4 - zdiřky pro výstup nf kmitočtu (sluchátka)
- Z5 - zásuvka pro připojení napájecího kabelu

## POUŽITÍ

Měříč pole a rušení BM 405 je v podstatě měrný superheterodyný přijímač, který můžeme použít jako laděný mikrovoltmetr nebo jako měřič elektromagnetických polí. Sondou, v níž je dělič a vf zesilovač, lze měřit napětí přímo na objektu. Přístroj je napájen ze zvláštních zdrojů, buď ze střídavé sítě zdrojem BP 4050 nebo z baterie zdrojem BP 4052. Propojení zdrojů s přístrojem je provedeno speciálním kabelem. K měření rušivých napětí na síťových svorkách strojů a přístrojů je nutno použít tohoto měřiče spolu s umělou sítí BP 4051.

## POPIS

Měření napětí se provádí sondou, v níž je vf zesilovač (E1). Vstup je neladěný. V hlavě sondy je třístupňový přepínač, kterým se přepíná vstupní kapacitní dělič 1 : 1, 1 : 10 a 1 : 100. V anodě vf zesilovače je transformátor s laděným sekundárem. Jeho cívky se přepínají v karuselu uvnitř přístroje spolu s obvody prvního oscilátoru. Druhý stupeň je additivní pentodový směšovač a první oscilátor (E2). V anodě směšovače je pásmový filtr, laděný na první mf kmitočet, který je na 1., 2., 3., 5. a 6. rozsahu 3 MHz a na 4. rozsahu 1,6 MHz.

Za tímto stupněm následuje katodový sledovač (E3), v němž je plynulé řízení zesílení a dekadický dělič. První stupeň dekadického děliče dělí 3x, další tři stupně každý 10x.

Dále následuje druhý, multiplikativní směšovač a oscilátor (E4). Kmitočet tohoto oscilátoru se přepíná na 4. rozsahu zároveň s karuselem na 1,725 MHz, na ostatních rozsazích je 2,875 MHz.

Další dva stupně slouží k zesílení mf kmitočtu 125 kHz (E5 a E6).

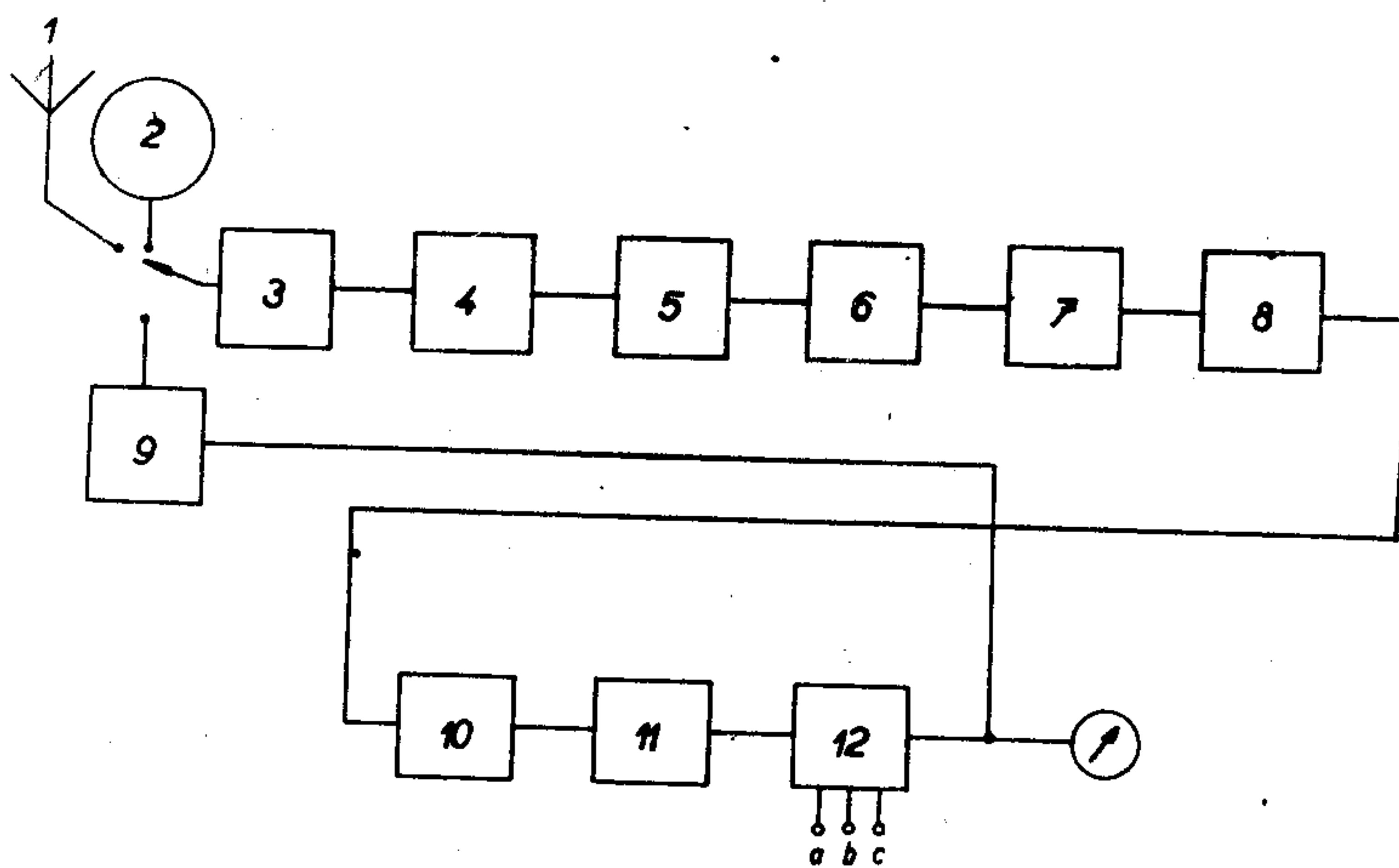
Za posledním pásmovým filtrem je diodová detekce (E7). RC konstanta vylazovacího filtru se přepíná pro měření střední hodnoty (0,2 msec) a pro měření rušení je možno použít vyhodnocení  $T_{vyb} = 160$  msec. V druhé poloze přepínače je zavedeno do mřížek mf elektronek AVC,

které tvoří přibližně logaritmický průběh (3 dekády) výstupního napětí. Stejnosměrná napětí se přivádí jenak na most (E9) s měřicím přístrojem mezi katodami a zároveň na druhý most (E8), jehož katody jsou vyvedeny na zdírky pro připojení registračního přístroje s předzesilovačem. Elektronka E10 slouží jenak jako katodový sledovač pro výstup mF kmitočtu, jednak jako zesilovač nízkého kmitočtu (modulace vf signálu).

Přístroj se cejchuje pomocí šumového generátoru (E11). Napájecí napětí jsou stabilizována elektronkovým stabilizátorem pro anodové napětí a magnetickým pro žhavení elektronek (ve zdroji).

Měření elektromagnetických polí se provádí pomocí cejchovaných rámových antén. Měříme-li elektrickou složku pole, použijeme tyčové antény, připojené na vstup měřiče.

#### BLOKOVÉ SCHEMA



obr. 2

- 1 - tyčová anténa
- 2 - rámová anténa
- 3 - kapacitní dělič umístěný v sondě
- 4 - vf zesilovač umístěný v sondě (E1)
- 5 - pentodový směšovač a první oscilátor (E2)
- 6 - katodový sledovač (E3)
- 7 - dekadický dělič
- 8 - druhý směšovač a oscilátor (E4)
- 9 - šumový generátor (E11)
- 10 - první zesilovač mf kmitočtu 125 kHz (E5)
- 11 - druhý zesilovač mf kmitočtu 125 kHz (E6)
- 12 - diodová detekce (E7), stejnosměrné mosty (E8, E9), katodový sledovač pro výstup mf kmitočtu a nf zesilovač (E10)
- a - výstup nf
- b - výstup mf
- c - výstup pro registrační přístroj

#### TECHNICKÉ ÚDAJE

Kmitočtový rozsah:                    150 kHz  $\div$  30 MHz v šesti rozsazích

Přesnost kmitočtu:                     $\pm 1\%$

Měření napětí:

- a) signálních:                    I. Lineární rozsah voltmetu 3  $\mu$ V  $\div$  1 V na plnou výchylku.
- II. Logaritmický rozsah - 3 dekády  
                                      300  $\mu$ V  $\div$  1 V na plnou výchylku

b) rušivých:

Přístroj provádí vyhodnocení podle [ ] doporučené CISPR (Dokument č.1) a ČSN 34 2850 "Ochrana radiového příjmu před rušením".

Přetížitelnost vf okruhu: 30 dB  $\pm 1,5$  dB; vstupní napětí maximálně do 10 mV.

Přesnost měření napětí  
(lineární stupnice):  $\pm 1$  dB

Měření elektromagne-  
tických polí:

Při měření se používají rámové antény,  
případně tyčová anténa.

Údaj měřiče je nutné násobit koeficientem,  
určeným z grafu pro příslušnou anténu.

Rozsah měření: od 0,5 - 0,9  $\mu$ V/m do 1,5 V/m.

Přesnost měření elektro-  
magnetických polí:  $\pm 3$  dB

Cejchování měřiče: šumovým generátorem na každém kmitočtu

Potlačení nežádoucích  
signálů:

I. jako měřič pole:

- a) mezifrekvenčního kmitočtu min. 60 dB
- b) zrcadlového kmitočtu min. 60 dB

II. jako laděný mikrovoltmetr:

- a) mezifrekvenčního kmitočtu asi 40 dB
  - b) zrcadlového kmitočtu asi 40 dB
- mimo krajní kmitočty}

Šířka pásma měřiče: 9 kHz pro pokles 6 dB

Výstupy:

- a) zdířky pro spoluposlech sluchátky,  
pro nf zesilovač nebo osciloskop.
- b) zdířky pro registrační přístroj  
Metra DRg 2,5 mA - 1700  $\Omega$  s předzesilo-  
vačem Z 10.
- c) konektor pro výstup mezifrekvenčního  
kmitočtu 125 kHz, např. pro osciloskop.

Vstupní odpor:	500 kΩ																				
Vstupní kapacita:	13 pF v poloze vstupního děliče 1 : 1, v ostatních polohách menší.																				
Císaření:	1 x 6F32, 1 x ECF82, 1 x ECH81, 1 x 6F31 (EF93), 1 x 6L31 (EL90), 1 x EABC80, 3 x ECC83, 1 x 1NA31, 1 x 6M1II																				
Napájení:	a) ze střídavé sítě o napětí 220 V/120 V $\pm 10\%$ , 50 Hz zdrojem BP 4050, b) z baterie 12 V zdrojem BP 4052.																				
Poznámka:	Zdroje je zapotřebí k přístroji zvlášť objednat.																				
Spotřeba:	120 VA																				
Rozměry a váha:	vlastního přístroje: 460 x 290 x 340 mm; 23,3 kg výsuvného stativu: 1100 mm, Ø 200 mm; 7 kg kufru s anténami: 540 x 350 x 500 mm; 21 kg																				
Příslušenství:	<table border="0"> <tr> <td>sonda</td> <td>LAK 052 56</td> </tr> <tr> <td>napájecí kabel krátký</td> <td>LAK 641 74</td> </tr> <tr> <td>napájecí kabel dlouhý</td> <td>LAK 642 29</td> </tr> <tr> <td>koaxiální kabel</td> <td>LAK 641 58</td> </tr> <tr> <td>stativ s otočnou hlavicí</td> <td>LAF 140 01</td> </tr> <tr> <td>skřín</td> <td>LAF 846 71</td> </tr> <tr> <td>rámová anténa (6 ks)</td> <td>LAN 401 00 až 05</td> </tr> <tr> <td>tyčová anténa (1 ks)</td> <td>LAF 404 Q4</td> </tr> <tr> <td>sada cejchovních křivek</td> <td></td> </tr> <tr> <td>návod k obsluze</td> <td></td> </tr> </table>	sonda	LAK 052 56	napájecí kabel krátký	LAK 641 74	napájecí kabel dlouhý	LAK 642 29	koaxiální kabel	LAK 641 58	stativ s otočnou hlavicí	LAF 140 01	skřín	LAF 846 71	rámová anténa (6 ks)	LAN 401 00 až 05	tyčová anténa (1 ks)	LAF 404 Q4	sada cejchovních křivek		návod k obsluze	
sonda	LAK 052 56																				
napájecí kabel krátký	LAK 641 74																				
napájecí kabel dlouhý	LAK 642 29																				
koaxiální kabel	LAK 641 58																				
stativ s otočnou hlavicí	LAF 140 01																				
skřín	LAF 846 71																				
rámová anténa (6 ks)	LAN 401 00 až 05																				
tyčová anténa (1 ks)	LAF 404 Q4																				
sada cejchovních křivek																					
návod k obsluze																					

## POKYNY PRO OBSLUHU

Před zapnutím přístroje se zapojí sonda konektorem do zásuvky Z1 a kabel z napájecího zdroje BP 4050 do zásuvky Z5.

Zapnutí přístroje se provede vypínačem na zdroji.

Před měřením se nastaví nula voltmetru potenciometrem P1, případně nula registračního přístroje (je-li připojen) potenciometrem P2, přitom je dekadický dělič K4 v poloze  $\times 10^4$ .

### Měření vf napětí

Měření vf napětí se provádí sondou přímo na objektu. Známe-li kmitočet a napětí měřeného objektu, můžeme přijímač předem přibližně nastavit na předpokládané hodnoty, tj. vybrat správný kmitočtový rozsah přepnutím karuselu K3, nastavit dělič K4 na očekávaný napěťový rozsah a naladit knoflíkem K2 přijímač na signál.

Neznáme-li kmitočet a napětí měřeného signálu, je nejlépe provést hledání kmitočtu s přepínačem funkce v poloze "LOG" (logaritmická stupnice) a dekadickým děličem v nejcitlivější poloze (x3), tj. při citlivosti asi  $300 \mu V$  na plnou výchylku. Dělič sondy (vstupní) je v poloze 1 : 1. Při hledání kmitočtu je nutno dát pozor na jiné signály (např. rozhlasové stanice), které pronikají na vstup měřiče zároveň s měřeným signálem, a na signály způsobené dvojím směšováním, na nichž nelze přístroj cejchovat. Cejchování se provádí v tomto případě v těsné blízkosti rušivého signálu.

### Cejchování měřiče

Jestliže máme stanovený kmitočet, na kterém budeme měřit, je nutno měřič ocejchovat. Cejchování se provádí na každém kmitočtu zvlášť. Vlivem dvojího směšování se vyskytuje v přijímači rušivé signály na kmitočtech dle následujícího vzorce:

$$f_{\text{ruš.}} = \frac{n \cdot f_{20} + f_{2m}}{m} - f_{1m}$$

v tomto případě je nutno ocejchovat přijímač v těsném sousedství těchto kmitočtů.

- $f_{20}$  = kmitočet druhého oscilátoru 2,875 MHz, 1,725 MHz a čtvrtého rozsahu  
 $f_{1m}$  = kmitočet první mezifrekvence 3 MHz, 1,6 MHz a čtvrtého rozsahu  
 $f_{2m}$  = kmitočet druhé mezifrekvence 125 kHz  
 $m$  = harmonická prvního oscilátoru  
 $n$  = harmonická druhého oscilátoru

Dělič v hlavě sondy je v poloze 1 : 1. Sondu zasuneme na doraz do otvoru "0". Dekadický dělič K4 přepneme do polohy "x3" a přepínač funkce K6 do polohy "PROUD ŠUM. DIODY". Potenciometrem K1 nastavíme výchylku měřidla na červenou rysku. [0,75]

Přepínač K6 přepneme do polohy "CEJCHOVÁNÍ". Potenciometrem pro regulaci zesílení (K5) nastavíme ručku měřidla opět na červenou rysku. Toto nastavení pro kontrolu několikrát opakujeme. Tím je přistraj na paladěném kmitočtu ocejchován a můžeme měřit neznámý signál. Přepínač děliče K4 přepneme do polohy "10<sup>4</sup>", přepínač K6 přepneme do příslušné polohy pro měření.

Pro běžná měření napětí nebo polí měříme v poloze přepínače "LIN", při silně kolísajících signálech v poloze "LOG", pro měření rušení používáme polohu "RUŠENÍ". Sondu opět připojíme na měřeny objekt.

Je-li měřené napětí větší než 100 µV, použijeme nejdříve dělič v sondě, zejména při měření rušení.

a) Pro polohy přepínače K6 "LIN" a "RUŠENÍ" - dělič K4 v poloze:

- x3      3 µV na plnou výchylku  
x10     10 µV na plnou výchylku  
 $x10^2$    100 µV na plnou výchylku  
 $x10^3$    1 mV na plnou výchylku  
 $x10^4$    10 mV na plnou výchylku

Platí lineární stupnice měřidla.

b) V poloze "LOG" přepínače K6 - dělič K4 v poloze:

- x3 300  $\mu$ V na plnou výchylku
- x10 1 mV na plnou výchylku
- x10<sup>2</sup> 10 mV na plnou výchylku

V dalších polohách děliče K4 neměřit!

Platí logaritmická stupnice měřidla.

Pro napětí nad 10 mV měřit v poloze dekadického děliče x10<sup>2</sup> s použitím děliče vstupního.

Poznámka:

Při měření nejmenších napětí do 3  $\mu$ V je nutno brát v úvahu vlast. šum přijímače, který je  $E_g = 0,5 \div 0,7 \mu$ V.

Abychom dostali správné napětí  $E_v$ , je tedy nutno od změřené hodnoty  $E_m$  odečíst  $E_g$  podle vzorce:

$$E_v = \sqrt{E_m^2 - E_g^2}$$

Při měřeních lze použít pro kontrolu jednak výstup mezifrekvenčního kmitočtu Z3 (např. pro oscilograf), jednak výstup nízkofrekvenčního kmitočtu Z4 (pro oscilograf nebo pro spoluposlech sluchátky).

### Měření elektromagnetických polí

Při tomto měření se rámová anténa příslušného kmitočtového rozsahu (barvy antén souhlasí s barvami rozsahu na přístroji) zasune do horní zásuvky přístroje a sonda se zastrčí do otvoru "O". Pro měření elektické složky pole použijeme tyčovou anténu, která nemá směrového účinku. Tím je přístroj připraven k měření.

Další nastavení citlivosti a měření se provádí stejným způsobem jako při měření napětí. Při ladění naladíme nejprve přijímač na maximum (vnější stupnice), potom ladíme anténu na maximum (knoflík ladění antény K7 a vnitřní stupnice). Nakonec je nutno najít otáčením přijímače do směru na zdroj měřeného elektromagnetického pole maximum přijímaného signálu. Odečtený údaj měriče je nutno násobit korekčním činitelem

antény  $K_g$ , nalezeným z přiložených grafů, abychom dostali intenzitu elektromagnetického pole v  $\mu\text{V/m}$  nebo  $\text{mV/m}$ .

Pro měření rušivých polí je možno použít vyhodnocení přepnutím přepínače K6 do polohy "RUŠENÍ". Další postup je stejný jako v předchozím.

Při měření rušivých napětí na síťových svorkách strojů a přístrojů se použije umělé sítě BP 4051.

## APLIKACE

Měříč pole a rušení BM 405 má široké použití ve většině oborů sdělovací techniky. Kromě základních funkcí, tj. měření elektromagnetických a rušivých polí, lze jej s výhodou dále využít např. k měření harmonických kmitočtů vysílačů, ke kontrole modulace vysílačů (ve spojení s osciloskopem) apod. Princip měření je prakticky stále stejný, mění se jen měřené objekty a veličiny.

Příklady měření poslouží jako vodítko pro praxi a další aplikační měření.

### Měření elektromagnetických polí

Postup měření je popsán v předchozích odstavcích. Při dlouhodobé registraci nebo při měření polí, která silně kolísají (únik), je nutno měřit na logaritmickém rozsahu výstupního měřidla.

Při měření elektrické složky tyčovou anténou je nutno počítat s tím, že tyčová anténa je ovlivňována okolím. Proto je nutno před měřením stanovit korekční činitel tyčové antény pro zvolené místo.

Korekční činitel se stanoví takto:

Přijímač s rámovou anténou se naladí na kmitočet stanice, která je kmitočtem co nejbliže měřenému kmitočtu. Z údaje měřidla z korekčního činitela rámové antény se určí intenzita pole v místě měření. K přijímači se potom připojí tyčová anténa a odečte údaj měřidla ( $u_T$ ). Protože elektrická a magnetická složka intenzity pole se na-

vzájem rovnají, je korekční činitel antény ( $K_T$ ) roven podílu mezi intenzitou pole  $\vec{E}$  a napětím na tyčové anténě

$$K_T = \frac{\vec{E}}{U_T}$$

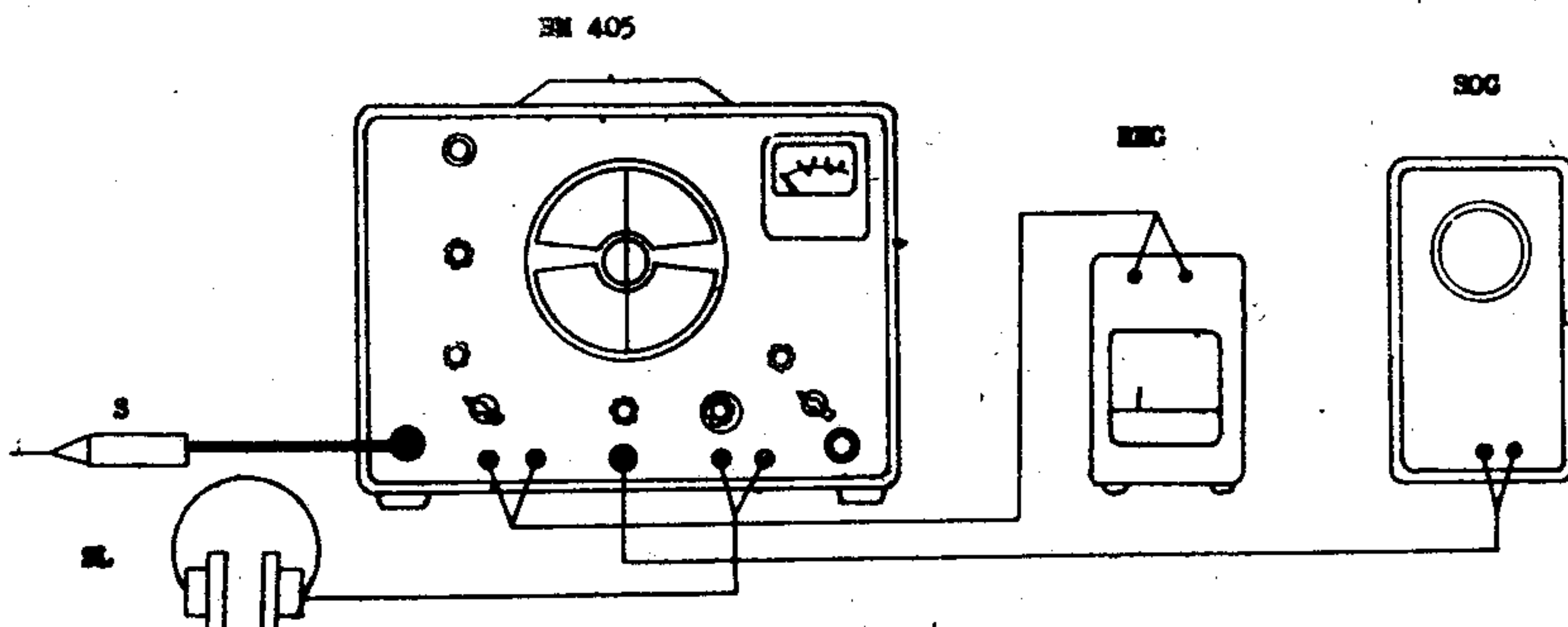
Ke stanovení korekčního činitele tyčové antény v daném místě je výhodné použít vzdálenější rozhlasové stanice tak, aby její pole v místě měření bylo homogenní.

#### Měření vý napětí 1 $\mu$ V až 1 V

Při tomto měření používáme přímo sondy, kterou přikládáme na měřené objekty.

Měřenou veličinu můžeme sledovat na měridle nebo sluchátce nebo pomocí osciloskopu na obrazovce. Měřenou veličinu, pokud je časově závislá (dlouhodobě), můžeme pomocí registračního přístroje připojením do zdírek Z2 zaznamenávat graficky.

Zapojení přístroje je na obr. 3.



Obr. 3

RM - reg. přístroj s předzesilovačem  
SOC - osciloskop (BM 370)

SL - sluchátka  
S - sonda k měřenému objektu

## Měření skreslení signálních generátorů

Při měření skreslení signálních generátorů nebo jakýchkoli jiných oscilátorů změříme nejdříve měřičem rušení BM 405 napětí základního kmitočtu, zaznamenáme hodnotu napětí a potom postupně měříme všechny sudé a liché harmonické původního kmitočtu a zaznamenáváme velikost napětí jednotlivých kmitočtů.

Můžeme velikost napětí vynášet např. graficky, jak je patrno z obr. 4.

V měření násobku základních kmitočtů postupujeme tak dlouho, až hodnota napětí je podstatně nižší než hodnota napětí základního kmitočtu.

Výsledné skreslení v procentech je dáno výrazem

$$\delta = \frac{\sqrt{E_2^2 + E_3^2 + \dots E_n^2}}{E_1} \cdot 100 \%$$

kde  $E_1$  až  $E_n$  jsou hodnoty napětí jednotlivých harmonických.

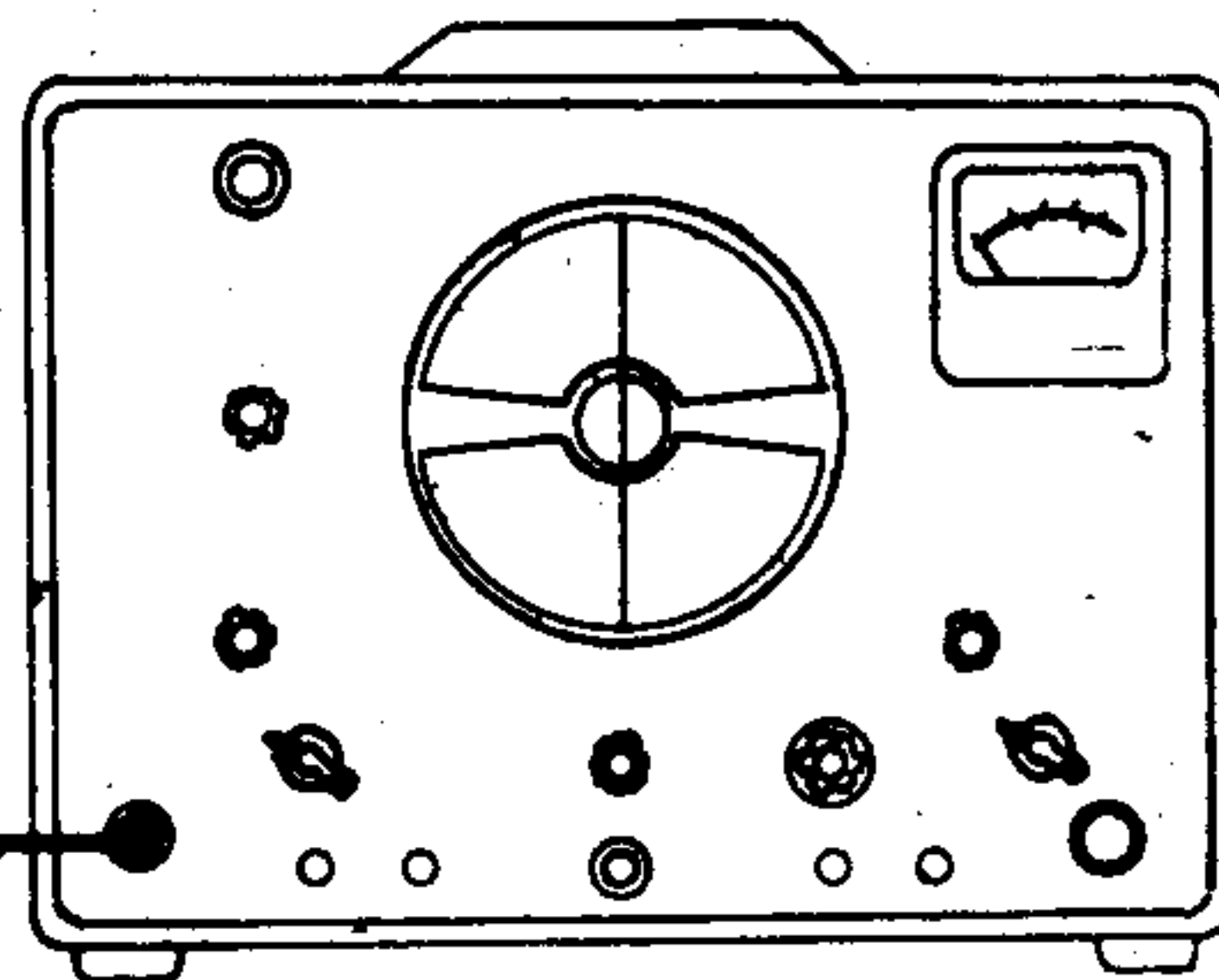
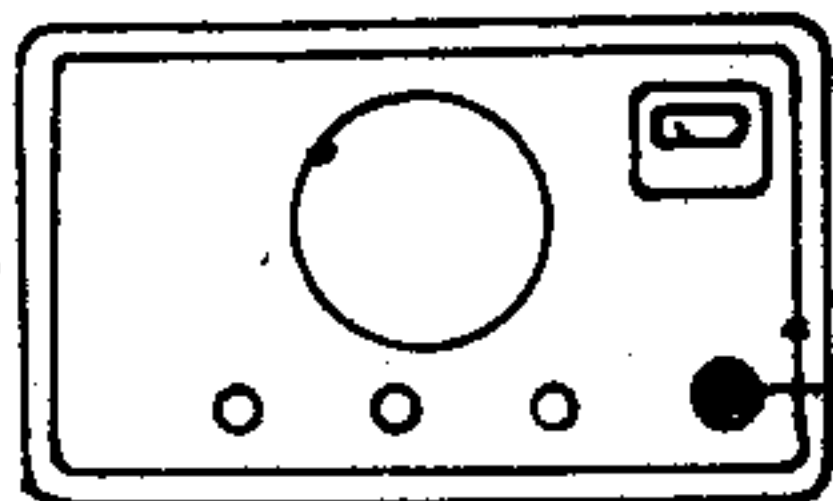
Zapojení přístrojů pro toto měření je na obr. 5.



obr. 4

BM 405

ZKOUŠENÍ VYF. OSCILÁTORA



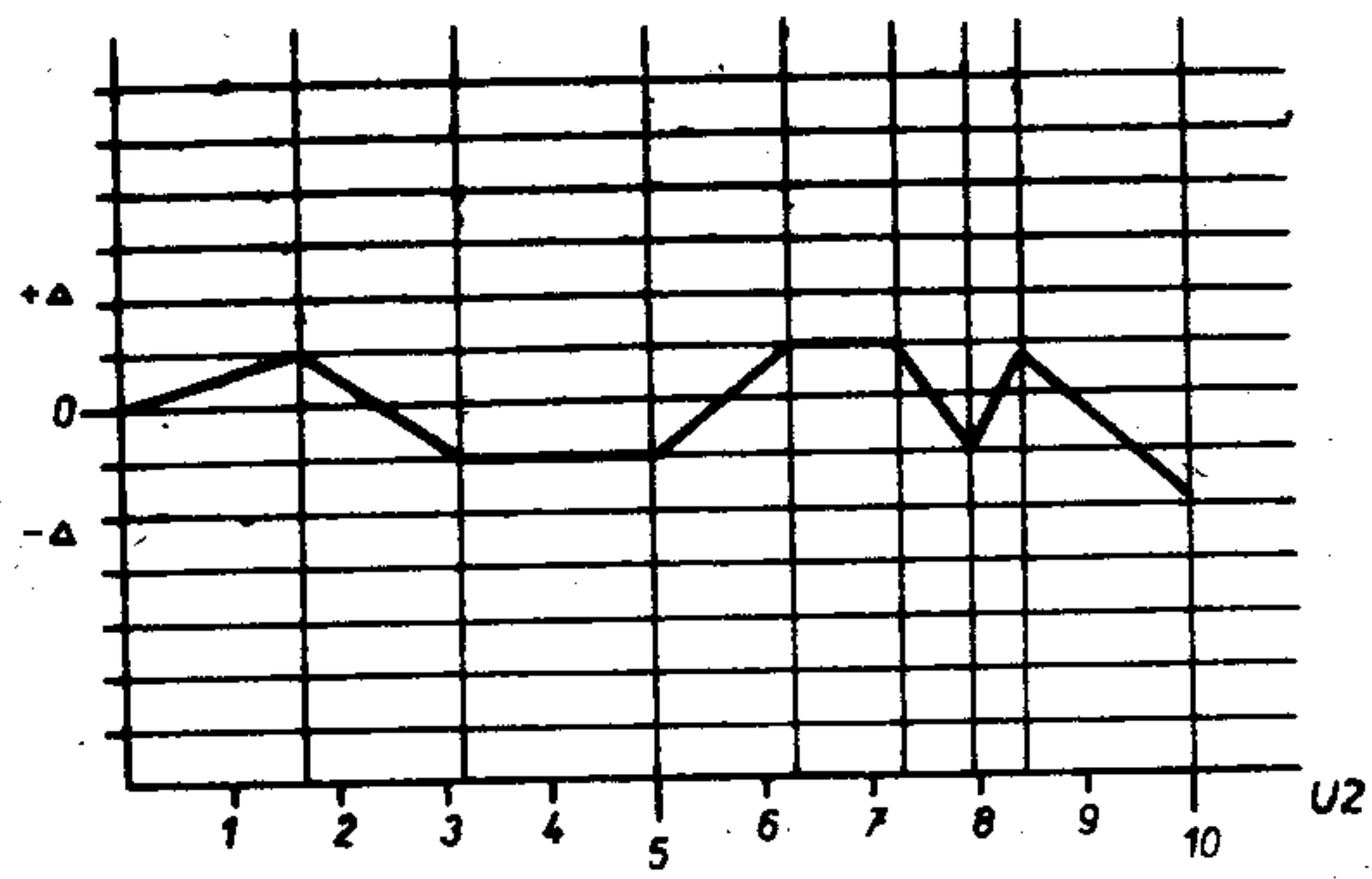
obr. 5

Kontrola výstupního napětí  
generátoru a měřidla výstupního napětí.

Přístroj BM 405 lze s výhodou použít rovněž ke kontrole výstupních napětí vyf. generátorů nebo k určení přesnosti údajů jejich výstupních voltmetrů.

Výstupní napětí generátoru přivedeme na vstup měřiče BM 405. Pomocí výstupních děličů nastavujeme na měřidle BM 405 zvolené cejchovní hodnoty a vynášíme je do grafu (obr. 6). Současně odečítáme výchylky výstupního voltmetru měřeného generátoru. Porovnáváním obou napětí můžeme zjistit hodnotu výstupního napětí s přesností  $\pm 1$  dB.

Graficky znázorníme průběh odchylek výstupního napětí od jmenovité hodnoty. Příklad viz obr. 6.

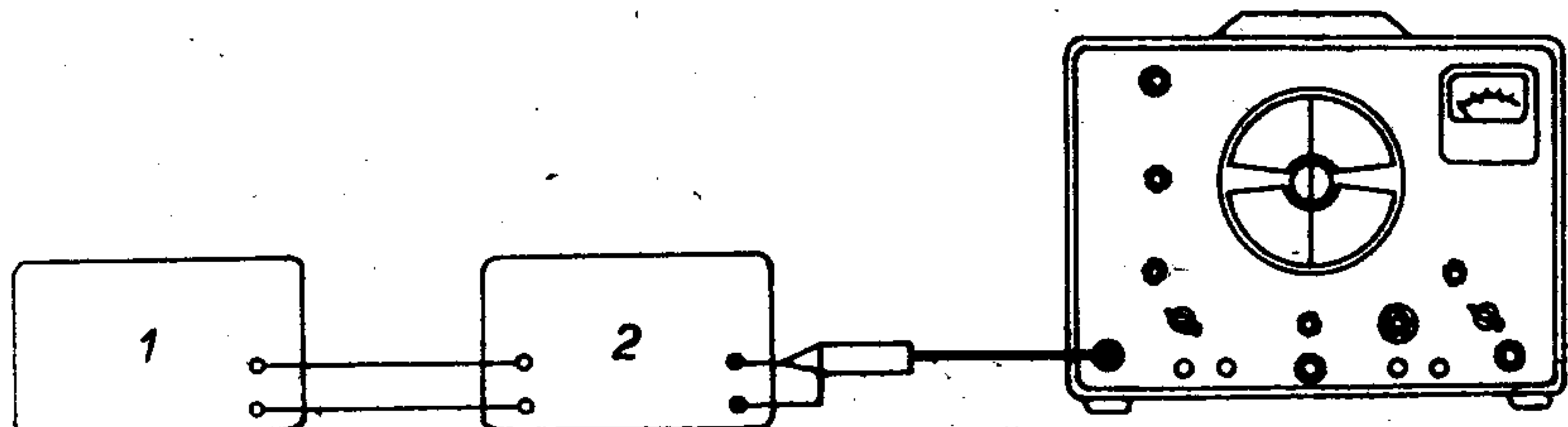


obr. 6

$U_1$  = údaj měřidla BM 405  
 $U_2$  = údaj měřidla zkoušeného přístroje  
 $+ \Delta; - \Delta$  = rozdíl mezi  $U_2$  a  $U_1$

### Proměřování zesilovačů, přijímačů a čtyřpólů

S použitím signálního generátoru lze s měřičem rušení BM 405 proměřovat kmitočtové charakteristiky zesilovačů, přijímačů a čtyřpólů s výhodou hlavně tam, kde napětí jsou řádově 1  $\mu$ V až 1 V, pro která prakticky neexistují běžné elektronkové voltmetry.



obr. 7

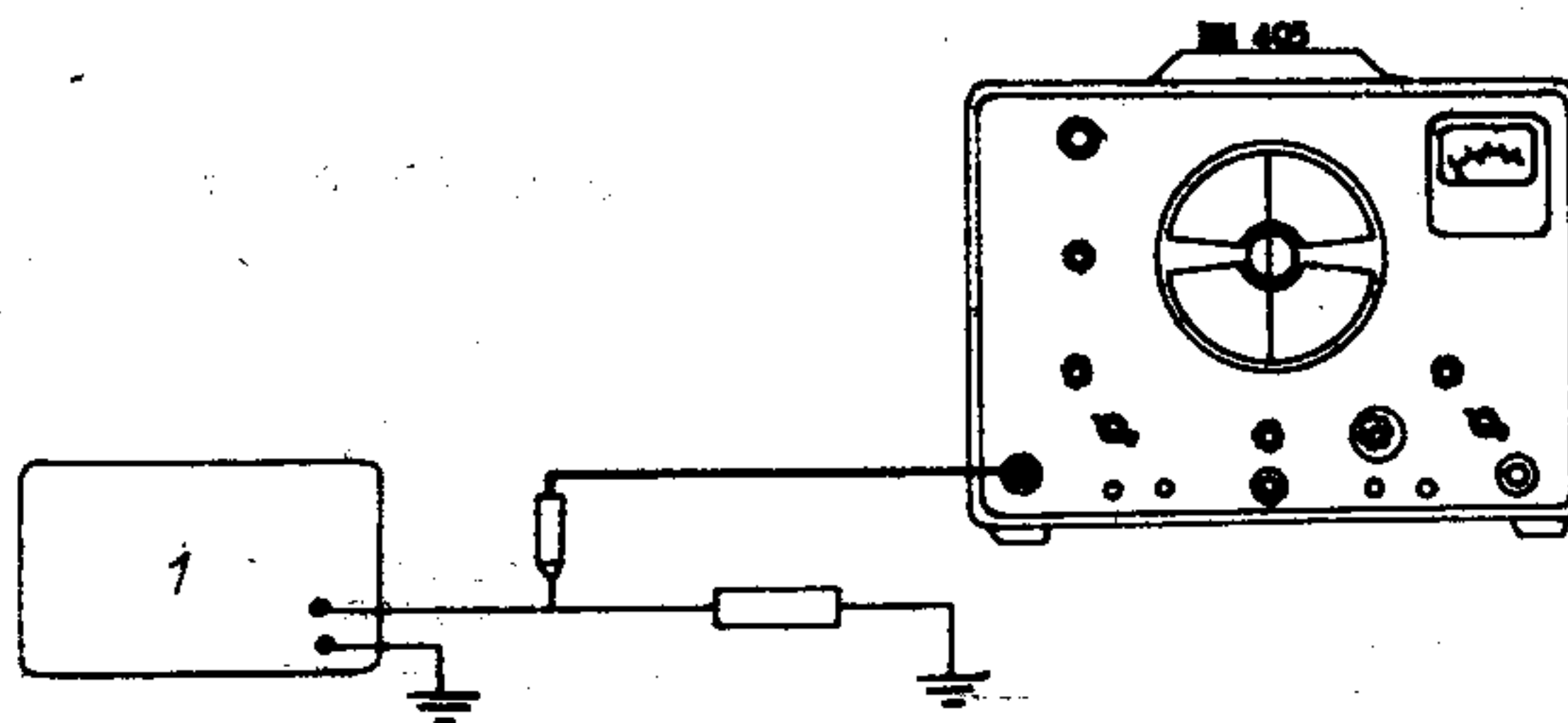
- 1 - signální generátor  
 2 - měřený čtyřpól

## Měření rušení

Měřičem rušení BM 405 ve spojení s umělou sítí BP 405I je možno provádět měření rušení podle ČSN 34 5820 "Ochrana radiového příjmu před rušením".

## Měření stojatých vln na kabelech

Vlivem nepřizpůsobení vznikají na vedení stojaté vlny, jejichž velikost můžeme zjistit pomocí měřiče pole a rušení BM 405. Propojení měřené linky s přístroji provedeme podle obr. 8.

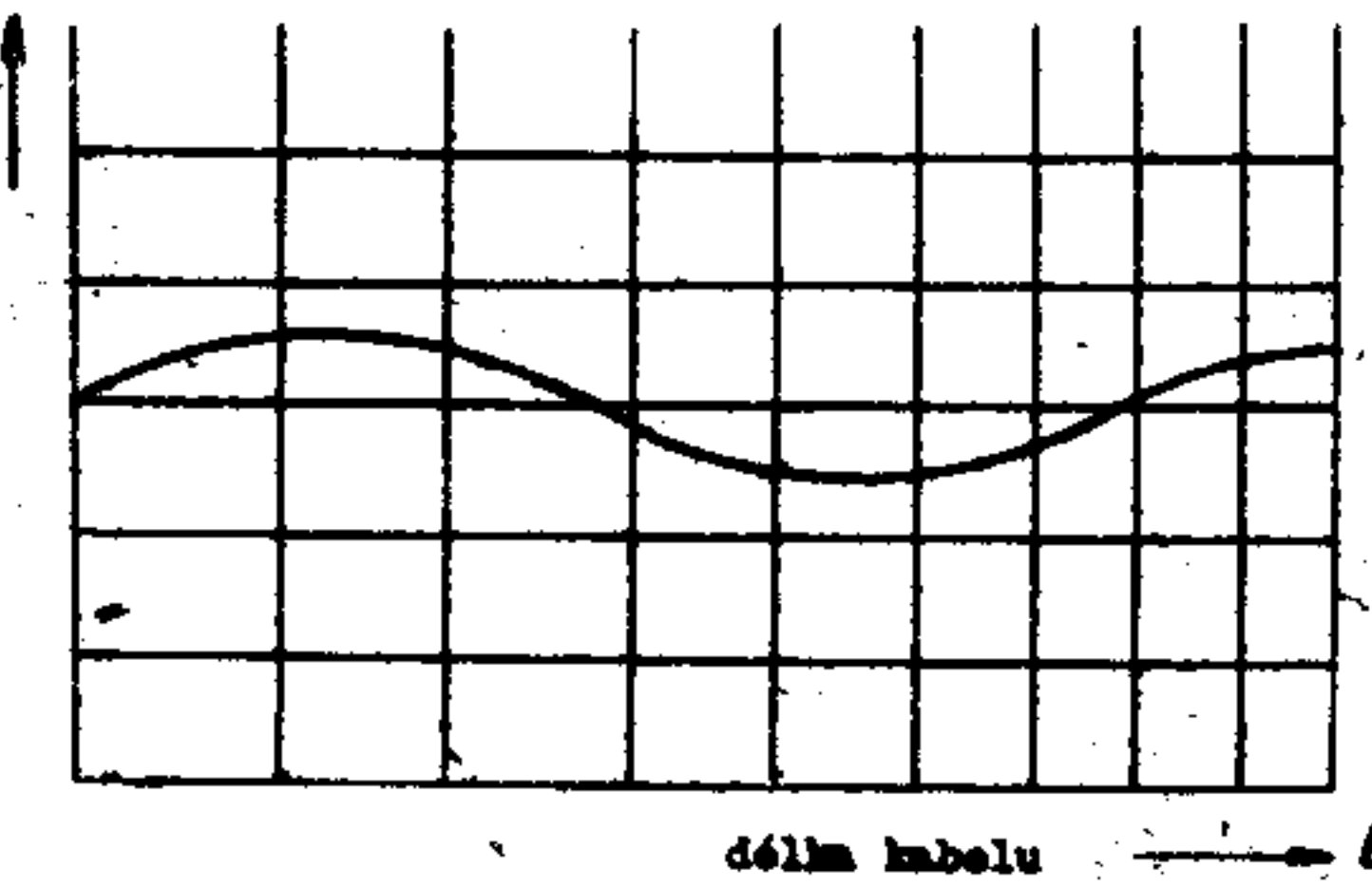


obr. 8

1 - vý generátor

Měření provádíme takovým způsobem, že sondu měřiče BM 405 přikládáme na měřený vý kabel a hledáme maximální a minimální napětí po jeho celé délce.

Takto naměřené hodnoty odečtené z měřidla přístroje BM 405 poznamenáváme do grafu, např. podle obr. 9.



obr. 9

## ROZPIS ELEKTRICKÝCH SOUČÁSTÍ

Odpory:

R1	vrstvový	TR 101 M5/B
R2	vrstvový	TR 101 240/B
R3	vrstvový	TR 101 24k/B
R4	vrstvový	TR 101 1k
R5	vrstvový	TR 101 39k/B
R6	vrstvový	TR 102 10k/A
R7	vrstvový	TR 101 M51/B
R8	vrstvový	TR 101 82k/B
R9	vrstvový	TR 101 1k6/B
R10	vrstvový	TR 101 6k8/B
R11	vrstvový	TR 101 51k/B
R12	vrstvový	TR 101 1k
R13	vrstvový	TR 101 51/B
R14	vrstvový	TR 101 M51/B
R15	vrstvový	TR 101 82k/B
R16	vrstvový	TR 101 M16/B
R17	vrstvový	TR 101 1k
R18	vrstvový	IAK 650 87
R19	vrstvový	IAK 650 84
R20	vrstvový	IAK 650 84
R21	vrstvový	IAK 650 84
R22	vrstvový	IAK 650 85
R23	vrstvový	IAK 650 86
R24	vrstvový	IAK 650 86
R25	vrstvový	IAK 650 85
R26	potenciometr	WN 694 06 2k5/N
R27	vrstvový	TR 103 6k8/A
R28	vrstvový	TR 102 39k/A
R29	vrstvový	TR 101, M16/B
R30	vrstvový	TR 101 M39/A
R31	vrstvový	TR 101 150/A
R32	vrstvový	TR 101 47k/A
R33	vrstvový	TR 103 47k/A
R34	vrstvový	TR 101 1k/A
R35	vrstvový	TR 101 82k/B
R36	vrstvový	TR 101 M1/B
R37	vrstvový	TR 101 M47/A
R38	vrstvový	TR 101 230/A
R39	vrstvový	TR 102 56k/A
R40	vrstvový	TR 103 33k/A
R41	vrstvový	TR 101 1k/A
R42	vrstvový	TR 101 82k/B

R43	vrstvový	TR 101 82k/B
R44	vrstvový	TR 103 820/A
R45	vrstvový	TR 101 1k/A
R46	vrstvový	TR 101 1M/B
R47	vrstvový	TR 101 M22/A
R49	vrstvový	TR 114 M1/B
R50	potenciometr	TP 180 10E 1M/N
R51	vrstvový	TR 101 M22/A
R52	vrstvový	TR 101 1M/B
R54	potenciometr	TP 180 10E M5/N
R55	potenciometr	TP 180 10E M1/N
R56	potenciometr	WN 790 25 1k
R57	potenciometr	TP 280 12E 25kN
R58	vrstvový	TR 102 M1/B
R59	vrstvový	TR 102 M1/B
R60	potenciometr	TP 280 12E 25k/N
R61	potenciometr	TP 280 12E 50k/N
R62	vrstvový	TR 102 M1/B
R63	vrstvový	TR 102 M1/B
R64	vrstvový	TR 102 20k/B
R65	vrstvový	TR 101 2M2
R66	vrstvový	TR 101 220/A
R67	vrstvový	TR 102 2k2/A
R68	vrstvový	TR 101 560/A
R69	vrstvový	TR 102 10k/A
R70	vrstvový	TR 101 1M/A
R71	potenciometr	IAN 690 17
R73	drátový	TR 616 10/B
R74	drátový	TR 616 10/B
R75	vrstvový	TR 101 240/B
R76	potenciometr	WN 694 01 1k/N
R77	vrstvový	TR 136 5J6/A
R78	vrstvový	TR 112 12/A
R79	vrstvový	TR 112 12/A
R80	vrstvový	TR 112 M22/A
R81	vrstvový	TR 101 M1/A
R82	vrstvový	TR 114 2M2/B
R83	vrstvový	TR 115 8M2/B
R84	potenciometr	TP 180 10E 1M/N
R85	potenciometr	TP 180 10E 1M/N
R86	vrstvový	TR 113 820/A
R87	vrstvový	TR 116 39/B

Kondensátory:

C1	otočný	IAN 705 06
C2	otočný	IAK 705 06
C3	slídový	JK 714 07 51/B
C4	slídový	TC 200 5J1/B
C5	slídový	TC 200 5J1/B
C6	slídový	WK 714 30 510/C
C7	slídový	WK 714 07 51/B
C8	svitkový	TC 120 47k
C9	slídový	WK 714 07 150/B
C10	svitkový	TC 161 68k
C11	slídový	WK 714 07 33/B
C12	slídový	WK 714 07 100/B
C13	MP svitkový	TC 162 M1
C14	slídový	WK 714 07 150/A
C15	slídový	WK 714 08 510/B
C16	slídový	WK 714 08 620/A
C17	slídový	TC 210 20/B
C18	slídový	TC 210 20/B
C19	slídový	TC 210 20/B
C20	doladovací	TK 810 30
C21	slídový	TC 210 20/B
C22	slídový	TC 210 20/B
C23	doladovací	TK 810 30
C24	doladovací	TK 810 30
C25	slídový	WK 714 08 820/B
C26	doladovací	TK 810 30
C27	doladovací	TK 810 30
C28	doladovací	TK 810 30
C29	doladovací	TK 810 30
C30	doladovací	TK 810 30
C31	doladovací	TK 810 30
C32	doladovací	TK 810 30
C33	slídový	WK 714 31 2k7/A
C34	svitkový	TC 152 27k
C35	svitkový	TC 161 68k
C36	otočný	IAN 705 06
C37	otočný	IAN 705 06
C38	slídový	WK 714 07 39/A
C39	MP svitkový	TC 162 M1
C40	slídový	WK 714 07 120/B
C41	slídový	WK 714 08 620/B
C42	slídový	WK 714 08 750/B
C43	MP svitkový	TC 162 33k
C44	slídový	WK 714 07 62/B
C45	doladovací	TK 810 30
C46	doladovací	TK 810 30
C47	doladovací	TK 810 30
C48	doladovací	TK 810 30
C49	doladovací	IAK 701 02

C50	doladovací	TK 810 30
C51	doladovací	TK 810 30
C52	doladovací	TK 810 30
C53	doladovací	TK 810 30
C54	doladovací	TK 810 30
C55	doladovací	TK 810 30
C56	doladovací	TK 810 30
C57	slídový	WK 714 07 68/A
C58	slídový	WK 714 07 43/B
C59	slídový	WK 714 07 43/B
C60	slídový	WK 714 07 20/B
C61	slídový	WK 714 07 82/B
C62	slídový	WK 714 07 66/A
C63	slídový	WK 714 08 800/B
C64	MP svitkový	TC 162 15k
C65	keramický	TK 319 82/B
C66	styroflexový	TC 281 150/B
C67	MP svitkový	TC 162 47k
C68	keramický	TK 210 1
C69	keramický	TK 319 82/B
C70	styroflexový	TC 281 150/B
C71	keramický	TK 425 470
C72	MP svitkový	TC 162 M1
C73	svitkový	TC 151 10k/A
C74	keramický	TK 330 270/A
C75	MP svitkový	TC 161 M1
C76	MP svitkový	TC 161 M1
C77	slídový	TC 210 560/A
C78	slídový	WK 714 07 120/C
C79	slídový	TC 210 20/B
C80	slídový	TC 210 150/B
C81	slídový	TC 210 390/B
C82	svitkový	TC 162 15k
C83	keramický	TK 319 120/C
C84	keramický	TK 319 120/C
C85	keramický	TK 227 33/B
C86	keramický	TK 319 120/C
C87	keramický	TK 319 120/C
C88	svitkový	TC 152 39k
C89	svitkový	TC 152 10k
C90	svitkový	TC 152 15k
C91	keramický	TK 319 120/C
C92	keramický	TK 319 120/C
C93	keramický	TK 227 33/B
C94	keramický	TK 319 120/C
C95	keramický	TK 319 120/C
C96	MP svitkový	TC 161 M1
C97	svitkový	TC 162 15k
C98	keramický	TK 319 120/C

C99	keramický	TK	319	120/C
C100	keramický	TK	225	18/B
C101	keramický	TK	416	150/B
C103	MP svitkový	TC	162	22k
C104	slídový	WK	714	08 180/A
C105	keramický	TK	219	3J3
C106	MP svitkový	TC	163	10k
C107	slídový	TC	210	200/B
C108	svitkový	TC	152	8k2
C109	svitkový	TC	152	8k2
C110	MP krabicový	TC	459	M5
C111	doladovací	IAK	701	02
C113	MP svitkový	TC	161	M1
C114	MP svitkový	TC	161	M1
C115	MP svitkový	TC	161	M1
C116	slídový	WK	714	08 680/B
C117	MP svitkový	TC	163	10k
C118	MP svitkový	TC	161	M1
C119	elektrolyt.	TC	161	1M
C120	MP svitkový	TC	162	M1
C121	MP svitkový	TC	162	M1

C122	průchodkový	TK	539	4k7
C123	keramický	TK	319	120/C
C124	keramický	TK	319	120/C
C125	keramický	TK	319	180/C
C126	keramický	TK	319	100/C
C127	keramický	TK	318	100/C
C129	slídový	WK	714	07 10/B
C130	slídový	WK	714	07 24/B
C131	doladovací	TK	810	30
C132	doladovací	TK	810	30
C133	doladovací	TK	810	30
C134	slídový	WK	714	08 800/B
C135	MP krabicový	TC	461	M1
C136	slídový	WK	714	07 33/B
C137	keramický	TK	219	3J9
C138	keramický	TK	219	5J6
C139	keramický	TK	219	3J9
C140	keramický	TK	219	5J6
C141	keramický	TK	219	3J9
C142	keramický	TK	219	5J6

$C_a = C_{83} + C_{84} + C_{123}$  paralelně  
 $C_b = C_{86} + C_{87} + C_{124}$  paralelně  
 $C_c = C_{91} + C_{92} + C_{125}$  paralelně  
 $C_d = C_{94} + C_{95} + C_{126}$  paralelně

$C_e = C_{98} + C_{99} + C_{127}$  paralelně  
 $C_g = C_{108} + C_{109}$  paralelně  
 $C_h = C_{85} + C_{137}, C_{138}$  dostavné  
 $C_j = C_{93} + C_{139}, C_{140}$  dostavné

#### Transformátory a cívky:

Název	Ozn.	Číslo výkresu	Vinutí	Číslo vývodu	Počet závitů	Ø drátu v mm
Cívka	L1	IAK 052 26	-	-	44	0,200
Cívka	L2	IAK 052 34	-	-	17	0,200
Cívka	L3	IAK 052 29	-	-	10	0,200
Cívka	L4	IAK 052 31	-	-	4	0,300
Cívka	L5	IAK 052 33	-	-	3	1,25
Cívka	L6	IAK 052 22	-	-	1	1,25
Cívka	L13,L7	IAK 607 24	L13	1 - 2	455	0,10
			L7	3 - 4	273	0,10
Cívka	L14,L8	IAK 607 25	L14	1 - 2	187	0,10
			L8	3 - 4	410	0,10
Cívka	L15,L9	IAK 607 26	L15	1 - 2	76	0,10
			L9	3 - 4	310	0,10
Cívka	L16,L10	IAK 607 27	L16	1 - 2	25	20 x 0,05
			L10	3 - 4	125	0,10

Cívka	L17,L11	IAK 607 28	L17	1 - 2	12	10 x 0,05
			L11	3 - 4	35	0,10
Cívka	L18,L12	IAK 607 29	L18	1 - 2	7	1,00
			L12	3 - 4	17	0,50
Cívka	L19	IAK 593 05 IAK 607 17	L19	1 - 2	60	20 x 0,05
Cívka	L20	IAK 607 18	L20A	1 - 2	65	0,10
			L20B	2 - 3	14	0,10
Cívka	L21	IAK 607 19	L21A	1 - 2	48	0,10
			L21B	2 - 3	11	0,10
Cívka	L22	IAK 607 20	L22A	1 - 2	28	0,10
			L22B	2 - 3	7	0,10
Cívka	L23	IAK 607 21	L23A	1 - 2	19	0,10
			L23B	2 - 3	5	0,10
Cívka	L24	IAK 607 22	L24A	1 - 2	9	0,50
			L24B	2 - 3	5	0,50
Cívka	L25	IAK 607 23	L25A	1 - 2	4	1,00
			L25B	2 - 3	2	1,00
			L25C	3 - 4	0,5	1,00
Transformátor mf cívka	L27,L26	IAN 666 10 IAK 629 03	L27	1 - 4	34	20 x 0,05
			L26	3 - 5	34	20 x 0,05
Transformátor mf cívka	L29,L28	IAN 666 11 IAK 629 09 IAK 629 05	L29	1 - 3	48	0,2
			L28	2 - 4	54	0,2
Cívka cívka	L30	IAK 607 15 IAK 607 13	L30	1 - 2	100	20 x 0,05
				3 - 4	33	20 x 0,05
Transformátor mf cívka	L32,L33	IAN 666 08 IAK 629 04	L32	1 - 3	410	0,125
			L33	4 - 5	410	0,125
Transformátor mf cívka	L34,L35	IAN 666 09 IAK 629 04	L34	1 - 3	410	0,125
			L35	4 - 5	410	0,125
Transformátor mf cívka	L36,L37	IAN 666 07 IAK 629 10 IAK 629 04	L36	1 - 3	850	0,10
			L37	2 - 4 - 5	410	0,125
Cívka	L38	IAK 600 22	L1A	1 - 2	55	0,12
			L1B	2 - 3	22	0,12
			L1C	3 - 4	41	0,12
Cívka	L39	IAK 607 16	L	-	320	0,170
Cívka	L40	IAK 607 16	L	-	320	0,170

Elektronky: E1 (6K11), E2 (ECF82), E3 (6F32), E4 (ECH81), E5 (6F31), E6 (6L31),  
E7 (EABC80), E8, E9, E10 (ECC83), E11 (1NA31)

Měřidlo IAP 780 70 (DER8, 100 µA), relé IAN 599 13

